

# Порождение структурно простых ранжирующих функций для задач информационного поиска

Кулунчаков Андрей

Московский физико-технический институт  
Факультет управления и прикладной математики  
Кафедра интеллектуальных систем

Научный руководитель д.ф.-м.н. В. В. Стрижов

Москва,  
2017 г.

# Задача

## Цель

Предложить автоматическую процедуру порождения ранжирующих функций произвольной структуры, имеющих высокий МАР.

## Проблема

Переборный алгоритм порождает только очень простые функции. Алгоритмы генетического поиска дают сложные модели, быстро стагнируя в локальные минимумы.

## Предлагаемое решение

Замедлять стагнацию с помощью регуляризации. Выводить из стагнации, определяя момент ее начала с помощью структурных метрик на множестве моделей.

# Прикладная задача

## Значимость

Предлагаемый подход предназначен для улучшения систем информационного поиска, основанных на экспертных оценках релевантности документа запросам.

## Коллекции документов

Следуя традициям сообщества ИП, мы ставим своей целью построение ранжирующих функций, дающих высокий МАР на коллекциях TREC.

## Актуальность

Постоянное развитие TREC-сообщества, программных пакетов, связанных в т.ч. с ранжирующими функциями (напр. Terrier) демонстрирует актуальность поставленной задачи.

# Известные подходы к порождению функций

Goswami et al. Exploring the space of ir functions, 2014

Переборный алгоритм вычислительно сложен. Анализируются только функции с очень низкой структурной сложностью.

Fan et al. A generic ranking function discovery framework by genetic programming for information retrieval, 2004.

Генетический алгоритм порождения застревает в локальных минимумах, итоговые функции переусложнены.

Billhardt P. et al. Using genetic algorithms to find suboptimal retrieval expert combinations, 2002.

Генетический алгоритм поиска линейной комбинации ранжирующих функций возвращает параметры, существенно зависящие от коллекции.

# Постановка задачи

## Задача

Коллекция документов  $C$  экспертно отранжирована по релевантности запросам  $Q - g : \bar{C} \times Q \rightarrow \{0, 1\}$ . Необходимо аппроксимировать зависимость  $g$  некоторой явной функцией.

## Постановка задачи

Оптимизационная задача:

$$f^* = \operatorname{argmax}_f (\mathcal{F}(f) - R(f)),$$

где  $R$  — регуляризатор, функционал качества  $\mathcal{F}$  — МАР, а максимизация проводится по всем суперпозициям над порождающими  $G$ .

# Аргументы функции и критерии качества

## Аргументы ранжирующей функции

Переменные в  $G$  — признаки пары документа и слова  $(d, w)$ :

$$x_w^d = t_d^w \log\left(1 + \frac{l_{avg}}{l_d}\right), \quad y_w = \frac{N_w}{N},$$

где  $N_w$  — # документов, содержащих  $w$ ;  $t_d^w$  — число слов  $w$  в  $d$ ,  $l_d$  — длина  $d$ ,  $l_{avg}$  — средняя длина документа в коллекции.  
При этом значение функции  $f$  на паре  $(q, d)$  определяется:

$$f(q, d) = \sum_{w \in q} f(w, d) = \sum_{w \in q} f(x_w^d, y_w)$$

## Критерии качества

Идеальная ранжирующая модель  $h$  такова, что для лучших моделей  $\{f_i\}$  из (Goswami 2014) выполняется:  $\mathcal{F}(h) > \mathcal{F}(f_i)$  — модель  $h$  равномерно лучше, чем все эталонные функции  $\{f_i\}$ .

# Алгоритм порождения ранжирующих функций

- ① Создаётся начальное множество случайных моделей.
- ② Часть моделей скрещиваются — обмениваются случайными подмоделями:  
 $f = \sin(x) + \cos(xy)$ ,  $g = \cos(x) + (x+y) \rightarrow$   
 $\rightarrow f = \sin(x) + (x+y)$ ,  $g = \cos(x) + \cos(xy)$ .
- ③ Некоторые модели мутируют — часть модели заменяется на случайную функцию:  
 $f(x, y) = \sin(x) + \cos(xy) \rightarrow f = \sin(x) + \ln(y)$ .
- ④ Определяется, попал ли алгоритм в локальный минимум. В случае попадания удаляем часть моделей и добавляем множество случайных.
- ⑤ Выбирается некоторое число лучших моделей согласно функционалу качества  $(\mathcal{F} - R)(f)$ . Если требуемая точность достигнута, алгоритм останавливается. Иначе, возврат на 2 шаг.

# Определение попадания в локальный минимум

Имеется множество моделей  $P = \{f_j\}_{j=1}^{|P|}$  и метрики  $\mu(f_i, f_j)$ .  
Значение  $\mu$  на всем множестве  $P$  определяется как:

$$\mu(P) = \frac{\sum_{k < j} \mu_i(f_k, f_j)}{avlen(P)},$$

где средняя длина моделей в множестве  $P$ :

$$avlen(P) = \frac{1}{|P|} \sum_{j=1}^{|P|} |f_j|.$$

**Попадание в локальный минимум** определяется, как опускание значения  $\mu(P)$  ниже порога  $Thresh$ , который определяется эмпирически.

# Три метрики $\mu_1, \mu_2, \mu_3$

Суперпозиции  $f_i, f_j$  представляются в виде помеченных деревьев  $T_i$  и  $T_j$ .

$\mu_1$

$$\mu_1(f_i, f_j) = |T_i| + |T_j| - 2|T_{ij}|,$$

где  $T_{ij}$  — наибольший общий подграф деревьев  $T_i$  и  $T_j$ .

$\mu_2$

Вторая метрика  $\mu_2(f_i, f_j)$  — редакторское расстояние между строковыми представлениями деревьев  $T_i$  и  $T_j$ .

$\mu_3$

Третья метрика  $\mu_3(f_i, f_j)$  — редакторское расстояние между самими деревьями  $T_i$  и  $T_j$ .

# Регуляризаторы

Для контроля структурной сложности модели в функционале качества присутствует регуляризатор. Исследуются три варианта ( $m$  — значение  $\text{MAP}(f)$ ):

①  $R_1(f) = p \cdot m \cdot I(|f| < CT),$

где  $CT$  — пороговая сложность модели,  $p \in (0, 1).$

②  $R_2(f) = p \cdot m \cdot I(|f| \geq CT) \cdot (|f| - CT),$

где  $C > 0$  — некоторая константа.

③  $R_3(f) = p \cdot m \cdot |f|^* \cdot \log(|f| + 1),$

где  $|f|^*$  — количество переменных  $x$ ,  $y$  в модели.

# Вычислительный эксперимент

## Выборки

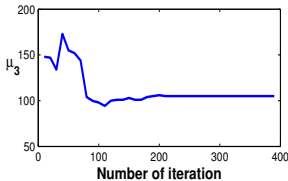
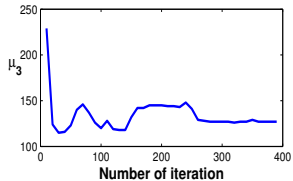
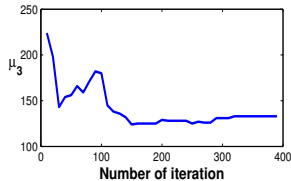
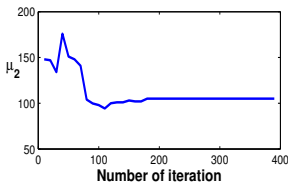
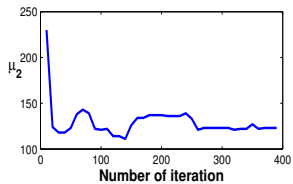
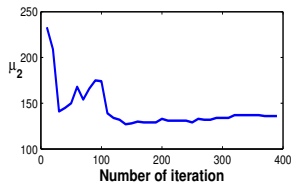
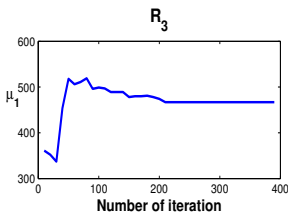
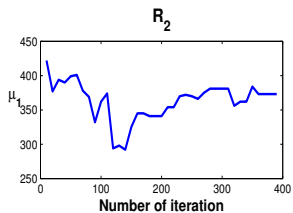
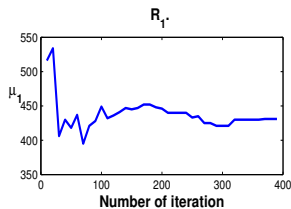
Используются выборки Trec5-8 для анализа моделей, генерируемых генетическим алгоритмом. При этом Trec7 — обучающая, а остальные — контрольные. Все выборки имеют примерно по 500 000 документов и 50 запросов к ним.

## Вычислительный эксперимент

Запускается алгоритм при разных регуляризаторах на выборке Trec7. Выбирается регуляризатор, который наиболее отдаляет точку стагнации и при этом не позволяет моделям значительно пере усложняться. Выбирается метрика, которая наиболее точно определяет начало стагнации.

После этого запускается алгоритм снова и итоговые модели сравниваются с теми, что были отобраны в Goswami, 2014.

# Анализ метрик и регуляризаторов



# Анализ метрик и регуляризаторов

- ➊ Метрика  $\mu_1$  не отражает момент стагнации — на графике нет заметных минимумов и последующих прямолинейных участков.
- ➋ Метрики  $\mu_2$  и  $\mu_3$  фактически неотличимы по динамике. Выбирается  $\mu_2$ , как более эффективно вычислимое.
- ➌ Регуляризатор  $R_1$  слишком жесткий — алгоритм стагнирует уже после первых итераций.
- ➍ Похожая ситуация наблюдается и для  $R_2$  — метрики существенно уменьшаются уже на первых итерациях.
- ➎ Напротив, с регуляризатором  $R_3$  уменьшение более плавное. Далее используем **третий регуляризатор**.

# Итоговые функции на Trec7( $\mu_2, R_3$ )

После 600 итераций отобраны функции  $\{h_j\}$  ( $\ln(x) \rightarrow \ln(x + 1)$ , а  $g(x) = \ln \ln(x)$ ). Модели  $\{h_j\}$  сравниваются с функциями  $\{f_i\}$ , признанными лучшими в работе Goswami, 2014. Функции  $\{f_i\}$  в среднем на множестве коллекций лучше, чем все модели сложностью не более 8 и известные ранжирующие модели  $BM25, LGD, LM_{DIR}$ :

#	Эталонные функции	#	Итоговые функции
$f_1$	$e^{\sqrt{\ln(x/y)}}$	$h_1$	$g\left(\frac{g(x)}{\sqrt{\ln(x)+x}}\right) - \ln(y)$
$f_2$	$\sqrt{\frac{\ln(x)}{\sqrt{y}}}$	$h_2$	$g\left(\frac{g(x)}{\sqrt{\frac{1}{2}\ln(x)+x}}\right) - \ln(y)$
$f_3$	$\sqrt[4]{\frac{x}{y}}$	$h_3$	$g\left(\ln\left(\frac{g(x)}{\sqrt{\frac{1}{2}\ln(x)+x}}\right) - \ln(y)\right)$
$f_4$	$\sqrt{y + \sqrt{\frac{x}{y}}}$	$h_4$	$g\left(\frac{g(x)}{\sqrt{g(\sqrt{x})+x}}\right) - \ln(y)$
$f_5$	$\sqrt{\sqrt{\frac{x}{y}} \cdot e^{-y}}$	$h_5$	$g\left(\frac{g(x)}{\sqrt{\ln(x)+\ln(y)}}\right) - \ln(y)$
$f_6$	$\sqrt{\sqrt{x} + \sqrt{\frac{x}{y}}}$	$h_6$	$g\left(\frac{g(\ln(x))}{\sqrt{\ln(x)+x}}\right) - \ln(y)$

# Сравнение функций на разных выборках

Значение 50·MAP для функций $f_i$ и $h_j$				
Функция	Trec5	Trec6	Trec7	Trec8
$f_1$	8.79	13.71	10.04	13.9
$f_2$	8.52	13.00	9.22	13.07
$f_3$	8.91	13.62	9.91	13.71
$f_4$	8.91	13.62	9.91	13.71
$f_5$	8.91	13.62	9.91	13.71
$f_6$	8.87	13.61	9.89	13.70
$h_1$	8.97	13.69	10.60	14.40
$h_2$	9.47	13.72	10.65	14.40
$h_3$	9.56	13.79	10.63	14.38
$h_4$	9.23	13.71	10.50	14.37
$h_5$	8.86	13.39	10.44	14.36
$h_6$	8.10	13.48	10.42	14.36

# Выводы

Полученные функции заметно улучшают известные модели из Goswami, 2014. Модели  $h_{1,2,3,4}$  лучше их даже на всех тестовых коллекциях.

Хотя структурная сложность моделей  $h_j$  примерно в два раза выше, чем у функций  $f_i$ ,  $h_j$  имеют компактный вид.

Структурная сложность $f_i$ и $h_j$			
Функция	Сложность	Функция	Сложность
$f_1$	6	$h_1$	14
$f_2$	6	$h_2$	15
$f_3$	5	$h_3$	16
$f_4$	7	$h_4$	16
$f_5$	8	$h_5$	15
$f_6$	8	$h_6$	15

- ➊ Приведен анализ регуляризаторов и структурных метрик в задаче порождения ранжирующих функций.
- ➋ Разработан генетический алгоритм поиска ранжирующих функций, который не склонен к попаданию в локальные минимумы.
- ➌ Порождаемые модели не переусложнены и имеют компактное описание.
- ➍ Получаемые ранжирующие функции равномерно лучше структурно простых эталонных моделей на рассматриваемом множестве тестовых коллекций TREC.

# Список работ, подготовленных в магистратуре

## Публикации:

- Kulunchakov A. S., Strijov V. V., Generation of simple structured Information Retrieval functions by genetic algorithm without stagnation , Expert Systems With Applications, 2017,
- Kulunchakov A. S., Creation of parametric rules to rewrite algebraic expressions in Symbolic Regression, JMLDA, 2017

## Подготовлены:

- Kulunchakov A. S., Strijov V. V., Isomorphism-based simplification of forecasting models
- Kulunchakov A. S., Strijov V. V., Generation of structural features from time series in problems of classification and clustering
- Kulunchakov A., Mairal J., Juditsky A., Harchaoui Z., Regularization and averaging schemes for stochastic least-squares with drifting optimum